

ANALIZA UNOR ALGORITMI DE ACCES PENTRU BAZE DE DATE ÎN REȚELE RAPIDE

dr.ing. Ștefan Stăncescu
ing. Traian Ștefănescu

Universitatea Politehnica București

Rezumat: Este abordată problema performanțelor de timp de acces în masive de baze de date distribuite și stabilirea de criterii de proiectare a acestora. Pornind de la schemele cu pompă de date Datacycle și schema 2PL (Two Phases with Lock), se analizează variante de scheme cu trimitere la cerere (send on demand). Se examinează, prin simulare, performanțele schemelor prezentate, cu decelarea diferențelor în performanțele de acces la date în diferite variante de solicitare a bazei de date: capacitatea rețelei, volumul și tipul solicitărilor. Se stabilesc recomandări la alegerea protocolului de acces pentru aplicații cu masive de baze de date distribuite.

Cuvinte cheie: sisteme de baze de date distribuite, rețele de calculatoare, algoritmi de acces.

1. Introducere

Într-un sistem de baze de date distribuite (SBDD), informațiile sunt împărțite în baze de date mai mici, distribuite fiecare pe calculatoare în rețea. În SBDD, se îndeplinesc funcții de procesare a interogărilor și de control al concurenței. O dată cu dezvoltarea rețelelor de mare viteză (Gb/s), costurile de transmisie a datelor în rețea au scăzut și a devenit necesară dezvoltarea unor noi algoritmi care să utilizeze eficient lărgimea de bandă (mai mare decât în cazul rețelelor obișnuite = Mb/s) disponibilă, adică să obțină la ieșirea sistemului o productivitate mai mare în rezolvarea tranzacțiilor.

2. Schemele Datacycle, 2-PL și "trimite la cerere"

În schema Datacycle, [1,2], o pompă de date livrează periodic, în rețea, întregul conținut al bazei de date. Volumul bazei de date de G Gb, împărțită în D elemente de date, de dimensiuni egale, se transmite de la un calculator central pe o magistrală de lungime 2L km. Capacitatea rețelei este C Gb/s. Cu acești parametri se calculează timpul necesar pentru transmiterea întregii baze de date pe bus-ul de transmisie T_{dc} , timpul datacycle. Fiecare element de date ocupă magistrala un slot de timp (T_s):

$$T_{dc} = \frac{G}{C} \text{ și } T_s = \frac{T_{dc}}{D} \quad (2.1)$$

În aceste circumstanțe, T_s și T_{dc} reprezintă timpul minim respectiv maxim, pentru a obține un element de date. Presupunând că o tranzacție poate sosi oricând, în timpul unui datacycle, distribuția

timpului de acces la un singur element de date se poate considera uniformă, în intervalul ($T_s, T_{dc}+T_s$). Fie Φ variabila aleatoare, care indică timpul necesar pentru a obține un element de date. Atunci, funcția densitate de probabilitate a lui Φ va fi:

$$f_{\Phi}(t) = \begin{cases} \frac{1}{T_{dc}}, & \text{pentru } T_s < t \leq T_{dc} + T_s \\ 0, & \text{altfel} \end{cases} \quad (2.2)$$

Pentru schema 2-PL, [3], s-a ales topologia în inel cu fibră optică bidirecțională, cu cele N calculatoare dispuse la egală distanță în inelul cu circumferința 2L. Fiecare element de date D este localizat într-unul din cele N calculatoare. Fiecare calculator are același număr de elemente de date. Timpii de așteptare în cozi sunt neglijați. Întârzierea de propagare între două calculatoare adiacente se notează T_p și timpul pentru a transmite un singur element de date este T_{tr} ($c=300000$ km/s). Se neglijează interblocările.

$$T_p = 2 * \frac{L}{N * c} \quad (2.3)$$

$$T_{tr} = \frac{G}{D * C} \quad (2.4)$$

Timpul minim pentru a accesa un element de date de către un calculator este zero (cazul în care acel element de date se află chiar pe acel calculator), iar timpul maxim este $N * T_p + T_{tr}$. În acest caz, funcția densitate de probabilitate a lui Φ este:

$$f_{\Phi}(t) = \begin{cases} \frac{1}{N * T_p + T_{tr}}, & \text{pentru } 0 < t \leq N * T_p + T_{tr} \\ 0, & \text{altfel} \end{cases} \quad (2.5)$$

Fie T_A și T_B timpul maxim, necesar pentru a accesa un element de date, în schema Datacycle, respectiv 2-PL. Egalând T_A cu T_B și urmărind formulele din subcapitolele anterioare:

$$T_A = T_{dc} \left(= \frac{G}{x} \right) \quad (2.6)$$

$$T_B = N * T_p + T_{tr} \left(= N * T_p + \frac{G}{D * x} \right) \quad (2.7)$$

se obține x, rata rețelei la care are loc intersecția între performanțele celor două scheme. Aceasta sugerează că fiecare schemă este favorabilă într-o anumită gamă de variație a ratei rețelei. Într-adevăr, pentru schema Datacycle, managerul de actualizare central reduce performanțele sistemului, iar algoritmul multiversiune este prea optimist, și nu este eficient în condițiile concurenței la elementele

de date pe rețele ultrarapide. Pentru schema 2-PL, există posibilitatea interblocărilor și apare o supraîncărcare a rețelei, asociată cu secvența de mesaje: cerere de blocare a elementului de date, permisiune de blocare a elementului de date, eliberarea elementului de date, valabilă în timpul accesării oricărui element de date.

În protocolul "trimite la cerere", elementele de date sunt, dependente de performanțele calculatorului pe care rezidă, deoarece toate solicitările pentru a accesa un element de date trebuie să fie procesate de calculatorul pe care se află acel element de date. Aceasta conduce la o secvență de mesaje schimbate între calculatorul care inițiază tranzacția și calculatorul pe care se află elementul de date. În efortul de a reduce numărul de secvențe de mesaje și de a promova o execuție cooperativă între toate calculatoarele ce constituie BDD, se folosește o schemă de control concurent la elementele de date. În această nouă schemă, elementele de date nu mai sunt "limitate" la un anumit calculator, în mod special. Fiecare calculator ce face parte din BDD, întreține o coadă de pretenții, pentru fiecare element de date, care este localizat în mod curent pe acel calculator. Coada de pretenții pentru un element de date conține o listă a tranzacțiilor (cu identificatoarele calculatoarelor unde este executată tranzacția) care cer acel element de date și, de asemenea, specifică acțiunea inclusă în tranzacție asupra acelui element de date (citire/scriere). Setul de operații de acces, împreună cu marca timpului de sosire a tranzacției $T - TS(T)$ a fiecărei noi tranzacții este transmis către toate calculatoarele din BDD. Figura 2.1 prezintă un mesaj tipic, trimis de un calculator care procesează o tranzacție cu k elemente de date în setul său de operații de acces:

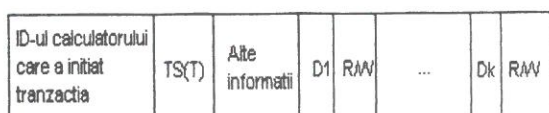


Figura 2.1

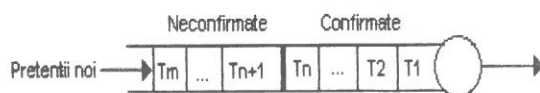


Figura 2.2

Durata confirmării unei tranzacții este un timp mai mare sau egal cu cel necesar trimiterii informației setului de operații acces spre toate calculatoarele din BDD. Acest lucru asigură ca, la fiecare calculator, coada de pretenții (figura 2.2) să aibă intrări în ordine (în timp), și, în acest fel, nu pot apărea interblocări.

La pornirea sistemului, toate elementele de date se află pe calculatoare oarecare. Când tranzacțiile încep

să sosească, cozile de pretenții încep să se ocupe. Toate calculatoarele își transmit elementele de date rezidente spre sistemul care a inițiat prima tranzacție confirmată, completând cozile de pretenții respective. În timp ce coada de pretenții este transmisă, alte tranzacții necesitând același element de date, pot sosi în sistem. Informații despre aceste tranzacții pot fi obținute din informația de transmisie (vezi formatul unui mesaj de transmisie). Fiecare calculator care inițiază o tranzacție așteaptă pentru ca întregul set de operații de acces să ajungă la locația lui, termină procesarea tranzacției și apoi transmite elementele de date la alte calculatoare care se afla la rând în cozile de pretenții respective. Acest mecanism elimină necesitatea de deblocare a elementelor de date, față de sistemele tradiționale, în care, pentru a se menține atomicitatea tranzacțiilor, se implementează protocoale speciale de validare (commit). Noul algoritm are nevoie doar de un protocol de validare local. Atât timp cât fiecare calculator întreține cozi de pretenții doar pentru acele elemente de date, care rezidă, în mod curent pe acel calculator, necesitățile de memorie nu sunt foarte mari. Fiecare calculator trebuie să aibă alocată memoria necesară stocării informației despre setul de operații de acces al tranzacțiilor confirmate.

O tranzacție tipică de actualizare are un set de operații de citire precum și un set de operații de scriere. Astfel, o coadă de pretenții tipică pentru un element de date are intrări de citire și intrări de scriere. Intrările consecutive de citire pot fi procesate în paralel, în timp ce intrările de scriere vor fi servite serial. De exemplu, considerând coada de pretenții a unui singur element de date D_j , unde se află două intrări de scriere, separate de câteva intrări de citire, după ce prima scriere a fost completată de calculatorul care deține (acum) copia scrisă a lui D_j , se trimite mai departe versiunea actualizată a lui D_j către toate calculatoarele care au o intrare de citire în coada de pretenții, înainte de scrierea următoare. Copia scrisă actuală este trimisă calculatorului care este responsabil pentru ultima intrare de citire înainte de a doua intrare de scriere. După ce este terminată fiecare tranzacție care necesită citirea lui D_j , există un mecanism de informare a calculatorului, care vrea să-l modifice pe D_j . Acest mecanism este realizat prin calculatoarele care-l citesc pe D_j și care trimit câte un mesaj către calculatorul care așteaptă să-l scrie pe D_j ; acesta așteaptă momentul propice actualizării și anume acela când s-a sfârșit citirea lui D_j . Calculatorul care are copia de scriere transmite această copie a lui D_j împreună cu mesajul și apoi actualizarea la acel calculator poate începe.

Una din presupunerile importante, făcute la dezvoltarea acestui protocol, este și aceea că perioada de timp a confirmării tranzacției este setată la o valoare aleasă, astfel încât este atinsă ordonarea totală a mesajelor (fiecare calculator

vede aceeași ordonare a tranzacțiilor confirmate într-o coadă de pretenții). Într-un sistem real, mesajele pot fi întârziate și mecanismul de transmisie poate fi destul de sofisticat pentru a garanta ordonarea totală chiar în aceste circumstanțe.

3. Protocol integrat de control al concurenței

Algoritmul de control integrat al concurenței este aplicabil unui SBDD general, unde sunt create și procesate ambele cozi de citire (tranzacții read-only) și de actualizare (tranzacții read/write). Algoritmul propus este hibrid între schema Datacycle și schema "trimite la cerere". Operațiile de citire vor fi tratate de mecanismul Datacycle, iar operațiile de scriere sunt tratate de protocolul "trimite la cerere". Operațiile de citire și scriere trebuie integrate astfel încât să nu fie violat criteriul de consistență a datelor (de exemplu, setul de operații de citire a unei tranzacții nu poate fi scris peste altă tranzacție până când prima tranzacție nu s-a terminat). Pentru operația de citire se alege versiunea distribuită a schemei Datacycle. Întreaga bază de date este divizată în fragmente și câtorva calculatoare din BDD le revine responsabilitatea să transmită un fragment periodic către toate celelalte. Mărimile fragmentelor nu sunt egale, acestea depinzând de alți factori. Fiecare element de date, din fiecare fragment, au atașate informații despre marca de timp. Valoarea mărcii de timp este timpul la care acel element de date a fost actualizat de o tranzacție și, de asemenea, conține identitatea tranzacției care a fost responsabilă pentru actualizare. Această valoare a mărcii de timp este inițializată la zero la pornirea sistemului. Ca și în arhitectura Datacycle, calculatoarele vor fi echipate cu filtre de date și alt hardware necesar pentru a citi elementele de date "din zbor". Elementele de date pot fi citite de către calculatoare în fiecare ciclu de transmisie și pot fi folosite în procesarea interogărilor. Atât timp cât toate elementele de date din setul de operații de citire a interogării sunt de aceeași "versiune", interogarea este garantată a da rezultatul corect. În contextul arhitecturii Datacycle, o cerere care poate să obțină întregul său set de operații de citire într-un singur ciclu, este garantată a fi corectă, atât timp cât actualizările sunt incluse în șirul de transmisie doar la începutul ciclului. Informația poate să nu fie cea mai recentă, dar rezultatul interogării va fi consistent.

Toate calculatoarele actualizează cozile de pretenții, iar dacă sunt responsabile de transmiterea unui fragment din baza de date, adaugă informația mărcii de timp la elementul de date și apoi șterge din cozile de pretenții informația despre tranzacția actualizată prin verificarea mărcii de timp.

Calculatoarele care procesează actualizări transmit întregul set de operații de acces (setul de operații de citire și setul de operații de scriere) al actualizării către toate calculatoarele și așteaptă evenimentele (a) și (b). Evenimentul (a) apare, dacă sunt primite toate elementele de date din setul de operații de acces, iar evenimentul (b), dacă mesajul "completat" a ajuns de la tranzacțiile care dețin o copie de citire a elementelor de date, în setul lor de operații de citire. În acest din urmă caz, se execută actualizarea, se trimite o copie a fiecărei actualizări (o dată cu timpul la care s-a executat actualizarea) către calculatoarele respective, responsabile pentru transmiterea lor. Dacă se deține o copie de citire a elementului de date D_j , se trimite o completare a mesajului către următoarea scriere în coada de pretenții pentru D_j , iar dacă se deține o copie de scriere a lui D_j , se trimite o copie de citire a lui D_j către toate calculatoarele care au o intrare de citire în coada de pretenții, înainte de scrierea următoare și se trimite copia de scriere către următoarea scriere.

Calculatoarele care procesează interogări scanează canalele de transmisie, pe care elementele de date sunt transmise, urmărind elementele de date din setul de operații de acces al interogării, citesc doar acele copii care sunt consistente mutual prin verificarea informației mărcii de timp respective și execută interogarea.

Pentru a analiza acest model, folosim diagrama din figura 3.3 care prezintă într-o ordine cronologică evenimentele care au loc într-o tranzacție tipică de actualizare.

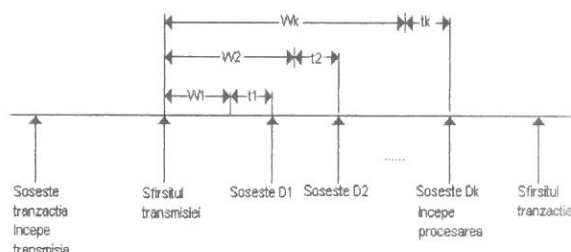


Figura 3.3

Când o tranzacție ajunge în poziția de început, ea intră într-o fază de transmisie de durată B , în timpul căreia setul de operații de acces al tranzacției este transmis către toate calculatoarele din bază de date. Durata confirmării este stabilită la valoarea B . În analiza ce urmează, se presupune că durata de transmisie se cunoaște cu exactitate și, în acest fel, durata confirmării este setată la această valoare. Evident, această situație nu este una reală, în realitate mesajele pot fi întârziate. După ce tranzacția este confirmată, calculatorul ce procesează tranzacția de actualizare trebuie să aștepte ca fiecare dintre obiectele de date k să ajungă la acel calculator, înainte ca procesarea lor să înceapă. Durata executării actualizării este notată cu E și este o

variabilă aleatoare. După ce transmisia s-a terminat, cererile pentru fiecare element de date din setul de operații de acces al tranzacției intră în cozile de pretenții respective, ale fiecărui obiect de date. Acum, fiecare interogare trebuie să ajungă prima în respectiva coadă de pretenții, înainte ca elementul de date să poată fi trimis către calculatorul aflat în discuție. Timpul de servire și timpul de așteptare pentru coada de pretenții ale elementului de date D_j este notat prin variabila aleatoare X_j și, respectiv, W_j . Variabila aleatoare t_j , a cărei distribuție este cunoscută, indică timpul (transmisie + propagare) necesar elementului de date D_j pentru a ajunge la calculatorul aflat în discuție. Timpul de servire pentru o tranzacție ce accesează k elemente de date la oricare calculator se notează S^k . Din diagrama din figura 3.3 se pot deduce următoarele relații:

$$S^k = B + \max\{W_1+t_1, W_2+t_2, \dots, W_k+t_k\} + E \quad (3.1)$$

$$X_i = S^k - W_i - B, \quad i=1, \dots, k \quad (3.2)$$

Atât timp cât W_i este funcție de X_i , din ecuația (3.1) rezultă că S^k este funcție de X_i , și, din ecuația (3.2), X_i este funcție de S^k . Pentru rezolvarea acestei probleme, se folosește o metodă iterativă [3]. Pentru a simplifica notațiile, ce este notat cu S^k vom nota cu S , presupunând că toate actualizările accesează același număr (K) de elemente de date. Timpul mediu de răspuns al oricărei actualizări este definit ca fiind timpul total, cheltuit de actualizare în SBDD. Pentru aceasta, avem nevoie să găsim timpul mediu de așteptare (\bar{W}) al oricărei tranzacții, care depinde de \bar{S} și \bar{S}^2 , primul și, respectiv, cel de-al doilea moment al variabilei S . Procesul de sosire al actualizărilor în sistem este presupus Poisson cu frecvența de sosire λ , iar nivelul de multiprogramare al fiecărei tranzacții la fiecare calculator este presupus unitar:

$$\bar{W} = \frac{\lambda * \bar{S}^2}{2 * (1 - \lambda * \bar{S})} \quad (3.3)$$

Timpul mediu de răspuns \bar{R} este dat de:

$$\bar{R} = \bar{S} + \bar{W} \quad (3.4)$$

Problema se rezumă la a calcula \bar{S} și \bar{S}^2 . Fie $Z = \max\{W_1+t_1, W_2+t_2, \dots, W_k+t_k\}$ și fie variabilele aleatoare (W_i+t_i), $i=1, \dots, k$, care au aceeași funcție de densitate de probabilitate, notată cu $f_{W_i+t_i}(x)$. Asemănător calculelor făcute în analiza 2-PL și Datacycle, presupunând că fiecare din aceste K variabile aleatoare sunt independente, funcția densitate de probabilitate a lui Z se poate obține din teoria probabilităților:

$$f_z(z) = K * f_{W_i+t_i}(z) * F_{W_i+t_i}^{K-1}(z) \quad (3.5)$$

unde cu $F_{W_i+t_i}(z)$ s-a notat funcția de repartiție în probabilitate corespunzătoare lui $f_{W_i+t_i}(z)$. \bar{Z} și \bar{Z}^2 se poate calcula dacă se cunoaște $F_{W_i+t_i}(z)$. Timpul

de așteptare principal (\bar{W}_I) într-o coadă de pretenții va fi:

$$\bar{W}_I = \frac{\lambda_c * \bar{X}_I^2}{2 * (1 - \lambda_c * \bar{X}_I)} \quad (3.6)$$

unde λ_c este frecvența de sosire a cererilor pentru acest element de date particular, de la toate calculatoarele din SBDD. Vom presupune că toate elementele de date sunt accesate uniform de fiecare tranzacție care sosește. Într-o bază de date distribuită pe N calculatoare, cu D elemente de date care sunt accesate uniform și în care fiecare actualizare accesează K elemente de date, apare următoarea relație:

$$\lambda_c = \frac{\lambda * K * N}{D} \quad (3.7)$$

Algoritmul iterativ cu care se calculează \bar{Z} și \bar{Z}^2 este descris de Shyu și Li [3]. În momentul în care \bar{Z} și \bar{Z}^2 au fost calculate, se pot calcula \bar{S} și \bar{S}^2 cu formulele de mai jos:

$$\begin{aligned} \bar{S} &= B + \bar{Z} + \bar{E} \text{ și} \\ \bar{S}^2 &= (\bar{B} + \bar{Z} + \bar{E})^2 = \\ &= \bar{B}^2 + \bar{Z}^2 + \bar{E}^2 + 2 * \bar{B} * \bar{Z} + \\ &+ 2 * \bar{B} * \bar{E} + 2 * \bar{E} * \bar{Z} \end{aligned} \quad (3.8)$$

4. Rezultate ale simulării

Vom considera o BDD cu trei calculatoare, pe fiecare calculator existând câte un singur element de date. Legăturile între noduri sunt etichetate cu timpul de comunicare (timp de transmisie + timp de întârziere de propagare). Conform relațiilor obținute pe baza modelelor matematice, construite anterior, autorii au elaborat un program în Visual C, care alcătuiește graficele analizelor schemelor Datacycle și 2-PL și care face și o simulare a protocolului "trimite la cerere" pentru a valida rezultatele analizei acestuia.

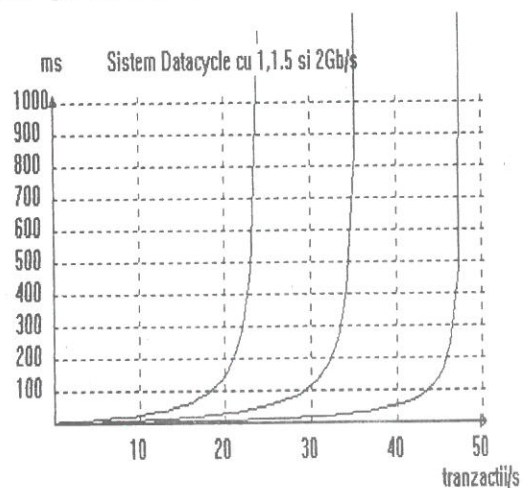


Figura 4.4

Figura 4.4 prezintă comportarea schemei Datacycle pentru un sistem cu tranzații numai cu operații de citire. La analiză, s-au folosit parametrii următori: $G=0.05\text{Gb}$, $L=6000\text{ km}$, $D=100$ $N=10$. S-a considerat timpul de acces al unui singur element de date, distribuit uniform. S-a presupus K (maximul cardinalității setului de operații de acces) ca fiind 10, cu probabilitatea $g_x=1/K$ (toate cardinalitățile setului de operații de acces între 1 și K sunt egal probabile). Timpul de execuție E a fost presupus zero. O dată cu creșterea vitezei rețelei, rata tranzațiilor sosite crește. În cazul în care timpul mediu de execuție al interogării crește, creșterea ratei rețelei nu este la fel de eficientă în îmbunătățirea productivității sistemului. Principalul dispozitiv care încetinește performanțele acum este mașina de baze de date, care procesează interogările.

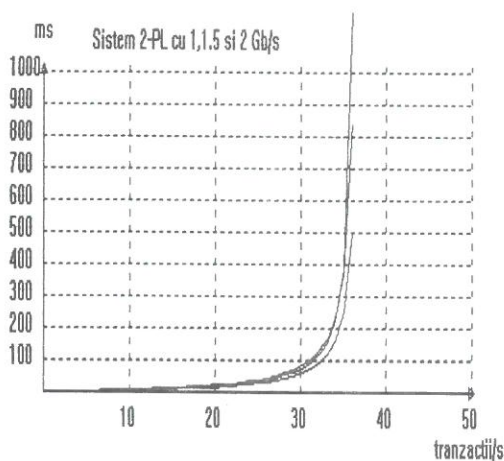


Figura 4.5

Figura 4.5 prezintă comportarea schemei 2-PL pentru un sistem cu tranzații numai cu operații de citire. Comparând figura 4.4 cu figura 4.5 este evident că schema Datacycle are performanțe mult mai slabe decât schema 2-PL la o rată scăzută a rețelei (1Gb/s); cele două scheme au performanțe aproape egale la o rată a rețelei de 1.5Gb/s, iar la 2Gb/s schema Datacycle depășește, în performanțe, schema 2-PL.

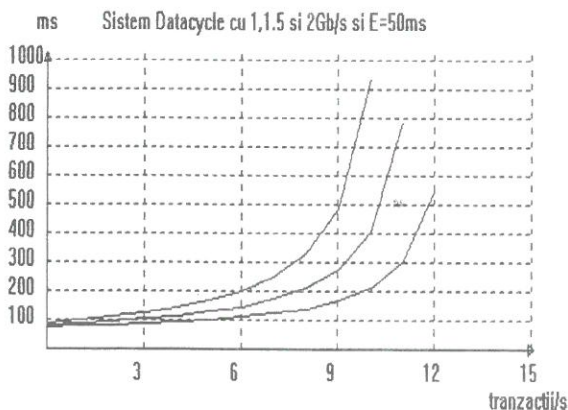


Figura 4.6

Figura 4.6 (obținută pentru un timp mediu de execuție a interogărilor de $E=50\text{ms}$) evidențiază faptul că există o problemă în implementarea bazelor de date, distribuite în rețele ultrarapide, dacă posibilitățile mașinii de baze de date de procesare a interogărilor nu pot fi ținute la același nivel (timp mediu de execuție cât mai mic).

Analizând din nou figura 4.5 se observă că performanțele schemei 2-PL nu se schimbă mult, o dată cu creșterea ratei rețelei. Acest lucru era de așteptat atât timp cât 2-PL este limitată de întârzierea de propagare între calculatoare, care nu depinde de rata rețelei. Fiindcă performanța schemei Datacycle depinde direct de timpul de transmisie al întregii baze de date pe magistrala de transmisie, o dată cu creșterea ratei rețelei este de așteptat ca și performanțele să se îmbunătățească.

Între performanțele celor două scheme există un punct de intersecție pentru o valoare intermediară a ratei rețelei. Schema Datacycle care procesează numai tranzații read-only se comportă mai bine decât protocolul 2-PL pentru valori mai mari ale ratei rețelei. Apare, în schimb, un cost suplimentar, implicat de echiparea calculatoarelor cu mecanisme pentru citirea datelor "în zbor" de pe magistrala comună și pentru pompa de date centralizată, care trebuie să fie deosebit de sigură în funcționare.

În analiza actualizărilor în schema Datacycle s-au făcut câteva presupuneri pentru a simplifica calculele. S-a considerat același sistem de baze de date distribuite, cu aceleași valori ca la analiza schemei Datacycle cu tranzații numai cu operații de scriere. Calculatoarele au fost considerate ca fiind dispuse la distanțe egale pe bus. În cazul actualizărilor, performanțele schemei Datacycle se vor micșora, deoarece actualizările presupun un protocol de acces concurent, implementat la nivelul de SGBDD, în timp ce tranzațiile numai cu operații de citire pot accesa elementele de date în mod concurent, gestionate de mecanismele de acces concurent la resursele ale sistemului de operare. Schema Datacycle funcționează mai bine în cazul procesării tranzațiilor numai cu operații de citire. Acest lucru a fost folosit în implementarea noului protocol hibrid "trimite la cerere".

S-a făcut analiza protocolului "trimite la cerere" conform modelului matematic prezentat mai sus. S-a considerat același SBDD, cu aceiași parametri ca în cazul anterior. De această dată, s-au considerat doar tranzațiile de actualizare, analiza tranzațiilor de citire făcându-se pe schema Datacycle.

În figura 4.7, se găsesc rezultatele acestei analize pentru capacitatea rețelei de 1Gb/s și pentru două valori constante ale cardinalității setului de operații de acces: $K=1$ și $K=4$. După cum era de așteptat, productivitatea sistemului scade o dată cu creșterea numărului de elemente de date solicitat.

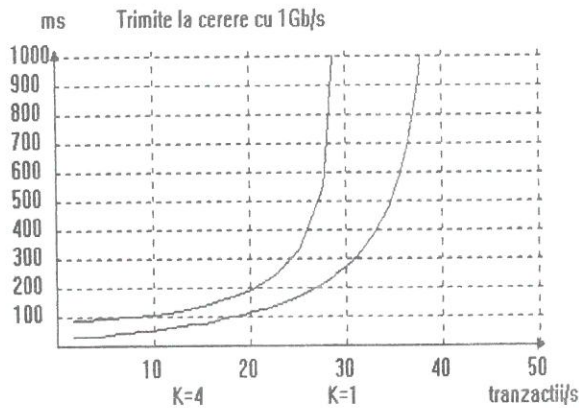


Figura 4.7

Timpul de execuție E a fost considerat zero, iar timpul mesajului de transmisie B a fost stabilit la o valoare constantă, egală cu timpul necesar unui mesaj ca să se propage în jumătate din rețea. Timpul de transmisie al unui element de date s-a presupus constant. $f_{w+(z)}$ și $f_x(z)$ s-au presupus funcții de densitate uniforme. Pentru a valida rezultatele analizei protocolului "trimite la cerere" s-a făcut o simulare a acestuia cu următorii parametri: $G=0.05\text{Gb}$, $L=6000\text{ km}$, $D=100$, $\lambda=10$, iar rata rețelei $C=1\text{ Gb/s}$. Rezultatele simulării sunt evidențiate în figura 4.9. Programul de simulare este scris în Visual C și execută 130000 de tranzacții (10000 de tranzacții pentru fiecare punct din grafic) la fiecare rulare. Timpul de execuție E a fost considerat zero, iar durata mesajului de transmisie B a fost setată la o valoare constantă, egală cu timpul necesar unui mesaj să se propage pe o distanță de 3000 km din rețea.

Simularea s-a făcut doar pentru tranzacții ce au cardinalitatea setului lor de operații de acces $K=1$. Fiecare punct calculat, în aceasta simulare, necesită un timp de calcul de aproximativ 7 minute pe un sistem Pentium 200MMX cu 32 MB de RAM.

Analiza și simularea se corespund destul de bine la frecvențe mici ale sosirii tranzacțiilor în sistem (figura 4.8). La frecvențe mari de sosire, sunt doi factori care determină ca rezultatele simulării să difere de rezultatele analizei. Primul factor este, eroarea introdusă de aproximațiile făcute funcțiilor de densitate de probabilitate $f_{w+(z)}$ și $f_x(z)$. Al doilea factor se datorează dependentelor introduse de ordinea în care anumite pretenții sosesc în diferitele cozi de pretenții. În acest protocol, elementele de date se mută de pe un calculator pe altul, în funcție de cozile lor de pretenții alcătuite conform tranzacțiilor care le solicită. Timpul necesar unui element de date ca să ajungă la un anumit calculator depinde de calculatorul pe care acesta s-a aflat anterior. Această diferență între analiză și simulare se poate reduce mediind rezultatele mai multor simulări.

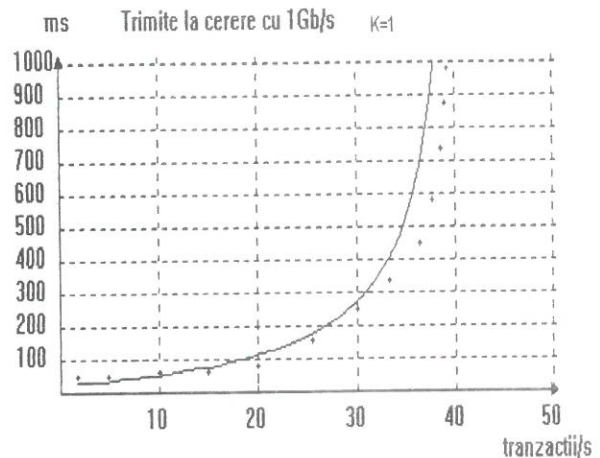


Figura 4.8

5. Concluzii

S-au simulat schemele clasice Datacycle, 2-PL, "trimite la cerere" clasic și o schemă de control concurențial, aplicabilă SBDD într-un mediu ultrarapid. S-a verificat, pe un caz particular, că algoritmul care folosește schema Datacycle pentru tranzacții numai cu operații de citire este superior, prin diagramele 4.4–4.8 evidențiindu-se deosebiri între performanțele de acces la date în funcție de capacitatea rețelei, volumul și tipul solicitărilor. Analiza și simulările s-au făcut numai asupra sistemelor sigure ca funcționare (s-a neglijat rezistența la defectare și prin aceasta controlul replicilor, precum și metodele de recuperare în cazul căderii sistemului) și numai pentru sisteme care lucrează cu tranzacții cu seturi de operații de acces predeclarat (nu s-a tratat și cazul tranzacțiilor dependente de elementele de date).

Bibliografie

1. BOWEN, T., GOPAL, G., HERMAN, G., HICKEY, T.M., LEE, K. C., MANSFIELD, W., RAITZ, J., WEINRIB, A.: The Datacycle Architecture. În: Communications of the ACM, vol. 35, December 1992, pp.71-81.
2. HERMAN, G., GOPAL, G., LEE, K.C., WEINRIB, A.: The Datacycle Architecture for very High Throughput Database Systems. În: Proc. of the ACM, SIGMOD, 1987, pp.97-103.
3. SHYU, S.-C., LI, V.O.K.: Performance Analysis of Static Locking in Distributed Database Systems. În: IEEE Transactions on Computers, vol. 39, June 1990, pp. 741-751.
4. SCHWARTZ, M.: Computer Communication Network Design and Analysis, Prentice Hall, 1977.